Politechnika Warszawska Wydział Elektryczny Kierunek Informatyka stosowana

KAMERA WIRTUALNA

Sprawozdanie z pierszej części projektu Grafika Komputerowa

> Mateusz Ciupa 291062

1 kwietnia 2020

Spis treści 1 Wstęp $\mathbf{2}$ 2 Opis obiektów $\mathbf{2}$ 3 Operacje kamery $\mathbf{2}$ 3 3 4 Owzorowanie punktu 3D na powierzchni 2D 7 5 Wnioski 7

1 Wstęp

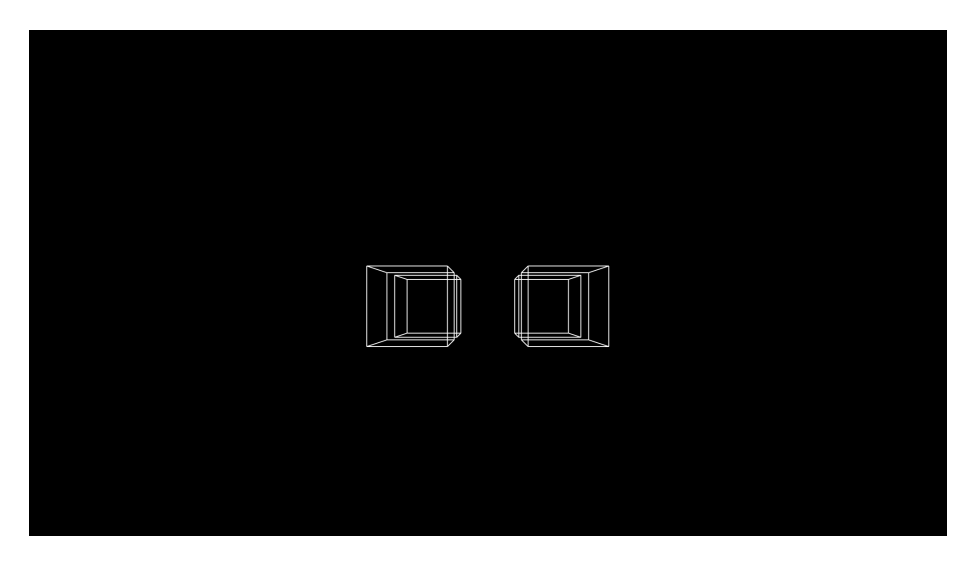
Celem pierwszej części projektu jest zaimplementowanie kamery wirtualnej w dowolnym języku. Kamera powinna umożliwiać dokonywania translacji (lewo, prawo, góra i dół), rotacji wokół trzech osi oraz operacji zoom. Ćwiczenie zostało wykonane przy użyciu języka **JavaScript** oraz elementu **Canvas** języka HTML. Materiały (w tym technika wykonania) zostały operte na książce: Fundamentals Of Computer Graphics - Peter, Shirley, Steve Marschner.

2 Opis obiektów

Obiekty, które są przedstawiane na ekranie, są bryłami, które składają się z krawędzi (dwóch punktów połączonych linią). Punkty tworzące te krawędzie są określone przez współrzędne jednorodne trójwymiarowej przestrzeni (x, y, z, 1).

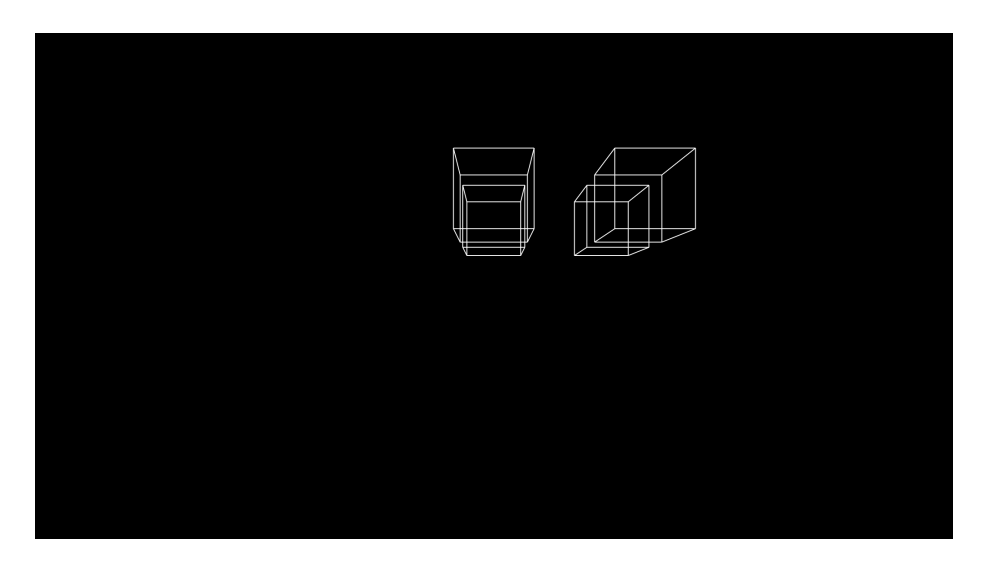
3 Operacje kamery

Operacje są dokonywane poprzez mnożenie wszystkich punktów tworzących obiekty przez odpowiednie macierze (4x4).



Rysunek 1: Początkowe wyświetlenie obiektów

3.1 Translacja



Rysunek 2: Obiekty poddane translacji x_t, y_t

Macierz translacji:

$$M_t = \begin{bmatrix} 1 & 0 & 0 & x_t \\ 0 & 1 & 0 & y_t \\ 0 & 0 & 1 & z_t \\ 0 & 0 & 0 & 1 \end{bmatrix}$$
 (1)

Gdzie x_t, y_t, z_t – kolejne współrzędne translacji obiektu.

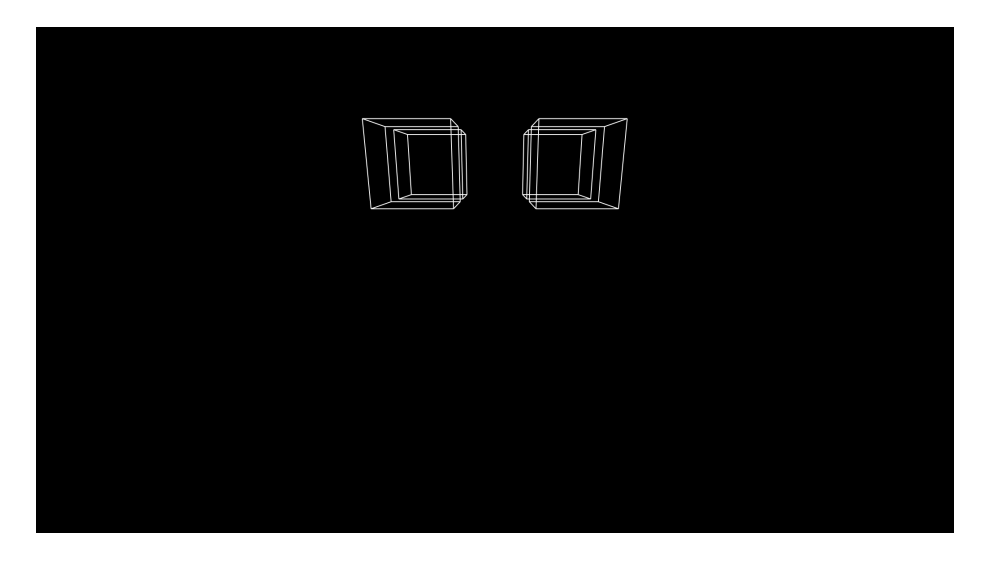
3.2 Rotacja

Macierze rotacji:

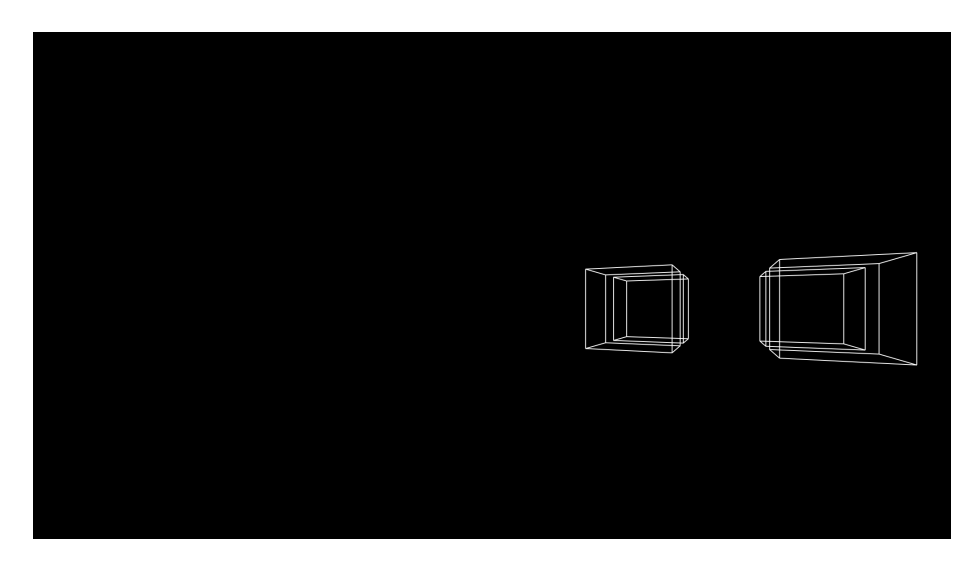
$$M_{rx} = \begin{bmatrix} 1 & 0 & 0 & 0 \\ 0 & \cos(\alpha) & \sin(\alpha) & 0 \\ 0 & -\sin(\alpha) & \cos(\alpha) & 0 \\ 0 & 0 & 0 & 1 \end{bmatrix}$$
 (2)

$$M_{ry} = \begin{bmatrix} \cos(\alpha) & 0 & -\sin(\alpha) & 0\\ 0 & 1 & 0 & 0\\ \sin(\alpha) & 0 & \cos(\alpha) & 0\\ 0 & 0 & 0 & 1 \end{bmatrix}$$
(3)

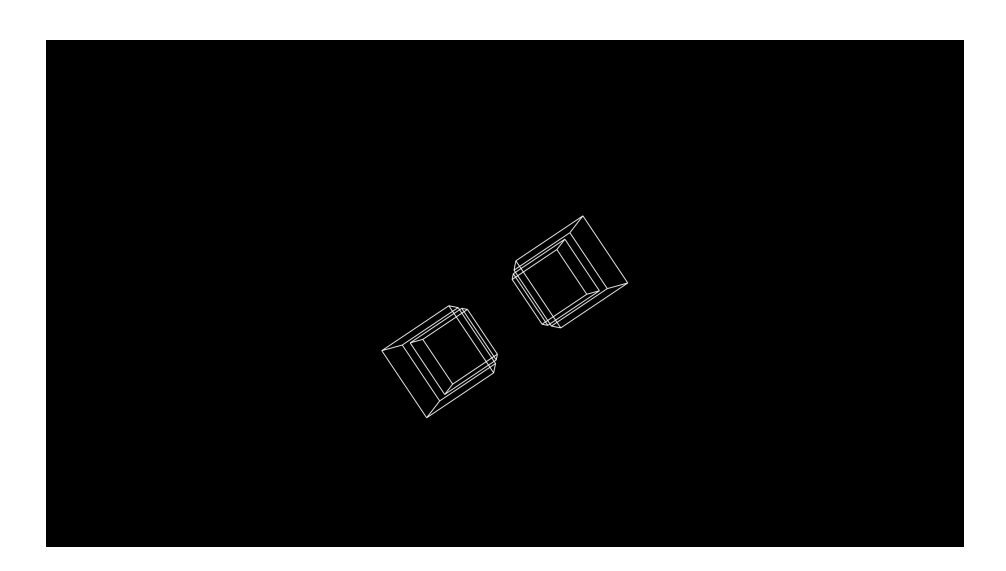
$$M_{rz} = \begin{bmatrix} \cos(\alpha) & \sin(\alpha) & 0 & 0\\ -\sin(\alpha) & \cos(\alpha) & 0 & 0\\ 0 & 0 & 1 & 0\\ 0 & 0 & 0 & 1 \end{bmatrix}$$
(4)



Rysunek 3: Obiekty poddane rotacji względem osi \boldsymbol{x}



Rysunek 4: Obiekty poddane rotacji względem osi \boldsymbol{y}



Rysunek 5: Obiekty poddane rotacji względem osi \boldsymbol{z}

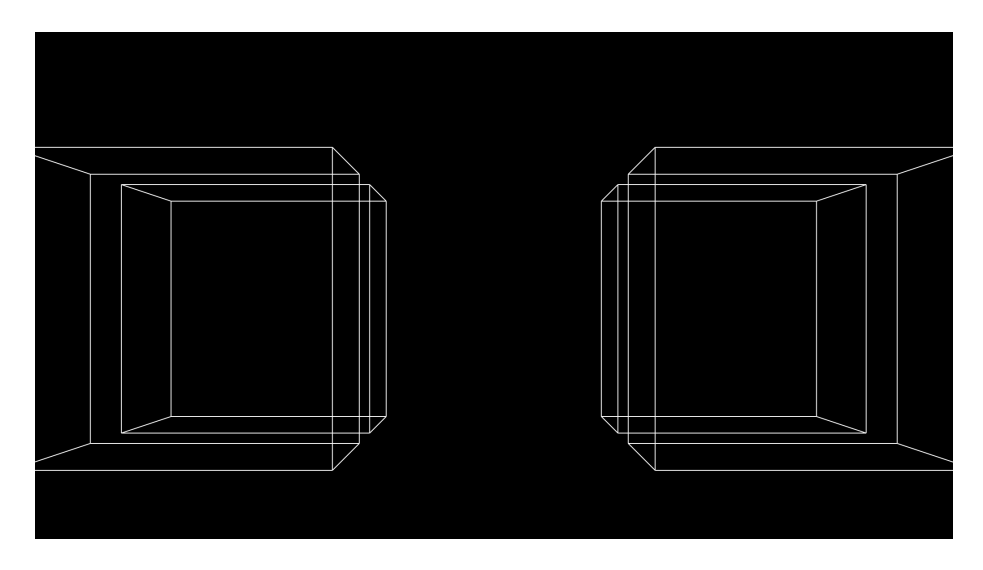
Gdzie x, y, z – osie rotacji.

3.3 Zoom

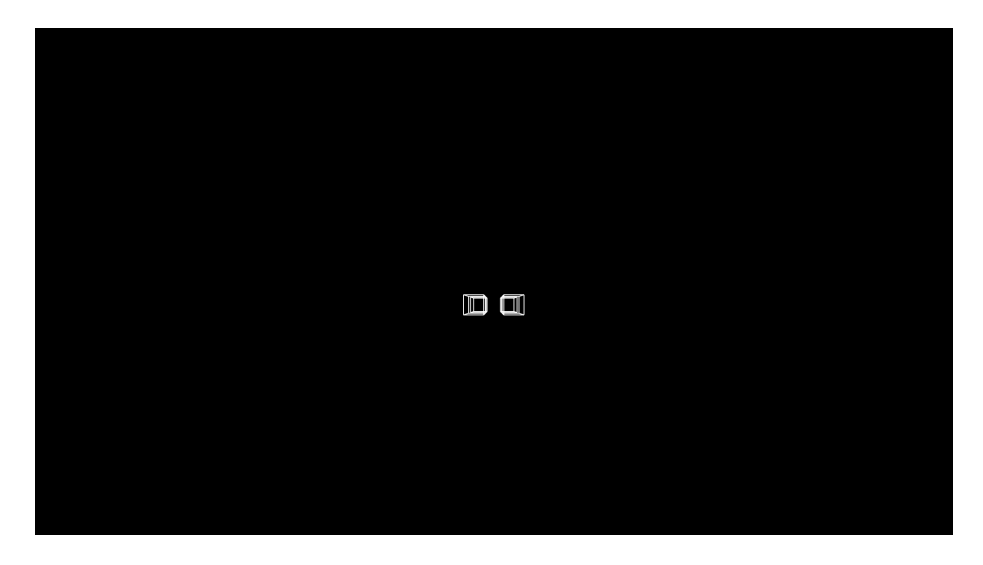
Macierz operacji zoom:

$$M_t = \begin{bmatrix} z & 0 & 0 & 0 \\ 0 & z & 0 & 0 \\ 0 & 0 & 1 & 0 \\ 0 & 0 & 0 & 1 \end{bmatrix}$$
 (5)

Gdzie z – stopień powiększenia.



Rysunek 6: Obiekty poddane operacji zoom (z>1)



Rysunek 7: Obiekty poddane operacji zoom (z>0i z<1)

4 Owzorowanie punktu 3D na powierzchni 2D

Odwzorowanie następowało poprzez przemnożenie punktów przez kolejne macierze:

1. Przejście z układu współrzędnych kamery do canonical view volume wraz z transformacją perspektywistyczną ($orth_to_canonical*perspective_matrix$).

$$M_{per} = \begin{bmatrix} \frac{2n}{r-l} & 0 & \frac{l+r}{l-r} & 0\\ 0 & \frac{2n}{t-b} & \frac{b+t}{b-t} & 0\\ 0 & 0 & \frac{f+n}{n-f} & \frac{2fn}{f-n}\\ 0 & 0 & 1 & 0 \end{bmatrix}$$
 (6)

Gdzie l, r, t, b, n, f – wymiary orthographic view volume (left, right, top, bottom, near, far).

2. $Viewport\ transformation$ – przejście z canonical view volume do wymiarów canvasa (bez zmiany z).

$$M_{vp} = \begin{bmatrix} \frac{n_x}{2} & 0 & 0 & \frac{n_x - 1}{2} \\ 0 & \frac{n_y}{2} & 0 & \frac{n_y - 1}{2} \\ 0 & 0 & 1 & 0 \\ 0 & 0 & 0 & 1 \end{bmatrix}$$
 (7)

Gdzie n_x, n_y – rozmiary canvasa.

5 Wnioski

1. W wykonaniu ćwiczenia niepotrzebnie wykorzystano transformację z układu współrzędnych kamery do canonical view volume – można było zastosować prostsze macierze. Będzie to przydatne w wykonaniu drugiej części projektu do usuwania powierzchni zakrytych.